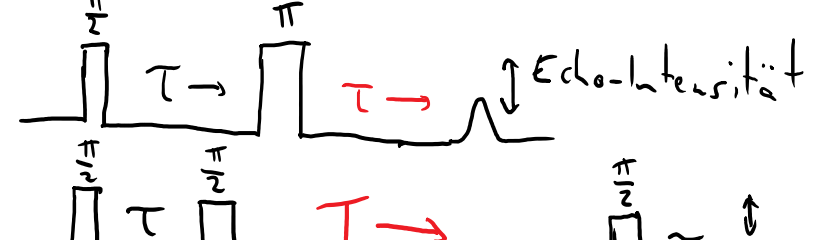


Nicht-säkulare WW: Echomodulation und verbotene Übergänge

Monday, January 8, 2018 10:18 AM

ESEEM | Electron Spin Echo Envelope Modulation

2-Puls-ESEEM



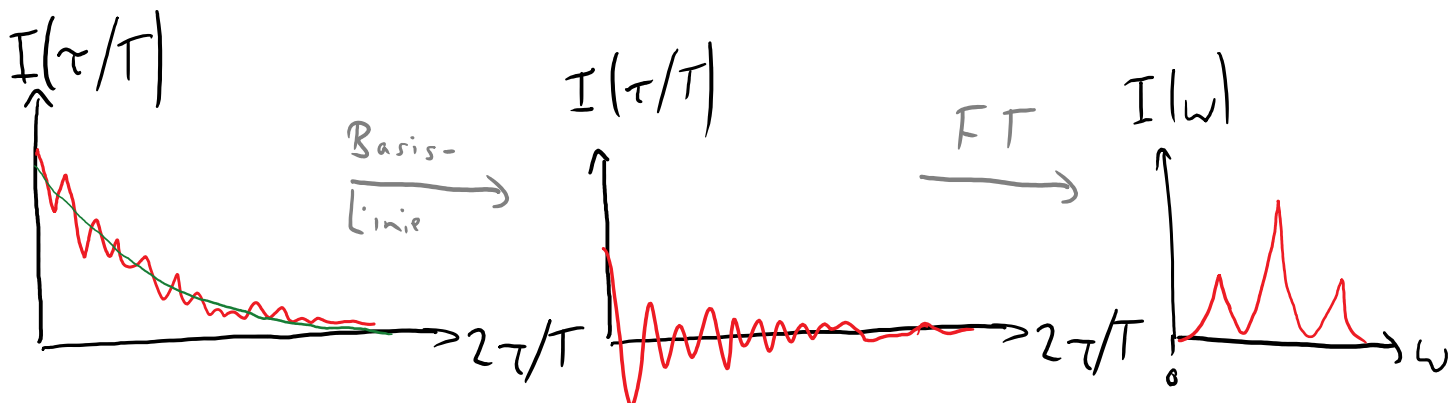
3-Puls-ESEEM



Vorteil: Echo-Zerfall mit T_1 statt T_2

Nachteile:

- Blind-Spots als Fkt. von τ
- Phasenzyklus notwendig zur Unterdrückung ungewollter Echoes



indirekte Aufnahme von NMR-Spektrum
direkt hyperfein-gekoppelte Kerne durch
Elektronen-Spin-Echo-Modulation

- Keine RF-Instrumentierung nötig (siehe ENDOR)

Erklärung

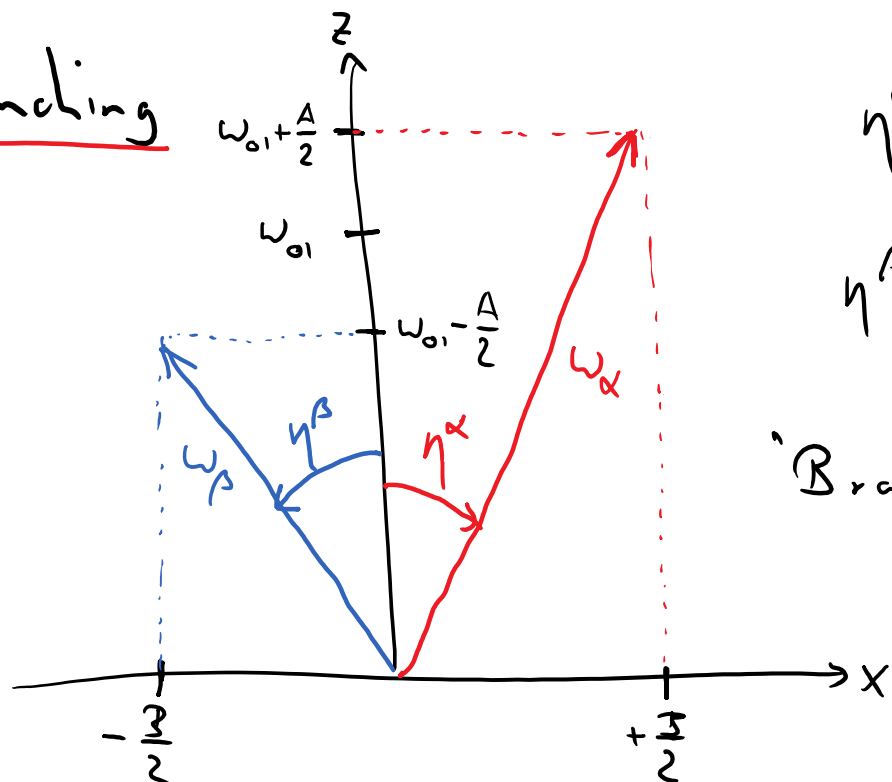
Sunday, January 27, 2019 11:56 AM

"Kurz"-Erklärung: $\hat{\mathcal{H}}_0 = \omega_{0s} \hat{S}_z - \omega_{0i} \hat{I}_2 + \boxed{\hat{S} \hat{A} \hat{I}}$

in Hochfeld (HF) Näherung: $A_{zz} \hat{S}_z \hat{I}_2$

in "Pseudo"-HF Näherung: $A_{zx} \hat{S}_z \hat{I}_x + A_{zy} \hat{S}_z \hat{I}_y + A_{zz} \hat{S}_z \hat{I}_2$

Branching



$$\eta^\alpha = \arctan \left(\frac{\frac{3}{2}}{\omega_{0i} + \frac{A}{2}} \right)$$

$$\eta^\beta = \arctan \left(\frac{-\frac{3}{2}}{\omega_{0i} - \frac{A}{2}} \right)$$

"Branching-Winkel"

Kernspin ist nicht entlang \vec{B}_0 quantisiert, sondern entlang effektivem Feld $\vec{B}_0 + \vec{B}_{loc}$
 ↳ α und β sind keine Eigenzustände der Kernspins

⇒ Kernzustände sind gemischt!

→ Kernspinübergänge kontinuierlich durch HFI!

→ ESEEM

aber nur durch dipolare (pseudo-säkulare Terme) HFI!!!

ESEEM

Monday, January 8, 2018 5:29 PM

2-Puls-ESEEM

Rowan, Hahn und Mims, Phys. Rev. A 137, 61 (1965)

$$V_{2p}(\tau) = 1 - \frac{k}{4} [2 - 2 \cos(\omega_\alpha \tau) - 2 \cos(\omega_\beta \tau) + \cos(\omega_- \tau) + \cos(\omega_+ \tau)]$$

reine Modulation, ohne Relaxation

$$\text{Modulationsstiefe } k = \sin^2(2\eta) = \left(\frac{B\omega_0}{\omega_\alpha \omega_\beta} \right)^2$$

$$B = \sqrt{A_{2x}^2 + A_{2y}^2} \quad \omega_\alpha = |\omega_{12}| \quad \omega_\beta = |\omega_{34}| \quad \omega_+ = \omega_{12} + \omega_{34} \quad \omega_- = \omega_{12} - \omega_{34}$$

$$\begin{array}{c} 11s \\ \hline 13s \end{array} \quad \begin{array}{c} 2s \\ \hline \omega_{12} \end{array}$$

NMR-Frequenz, wenn e⁻ im α/β-Zustand ist

Summen + Differenz Frequenzen

$$\begin{array}{c} \omega_{34} \\ \hline 14s \end{array}$$

$$\omega_{\alpha/\beta} = \sqrt{(\omega_{01} \pm \frac{\Delta}{2})^2 + (\frac{\gamma}{2})^2}$$

mit Relaxation:

$$V'_{2p}(\tau) = V_{2p}(\tau) \cdot e^{-\frac{2\tau}{T_m^{(el)}}} \left(e^{-\frac{2\tau}{T_m^{(in)}}} \right)$$

dominiert Vernachlässigt, Linienbreite! da T_m⁽ⁱⁿ⁾ ≫ τ

3-Puls-ESEEM

Mims, Phys. Rev. B 5, 2409 (1972)

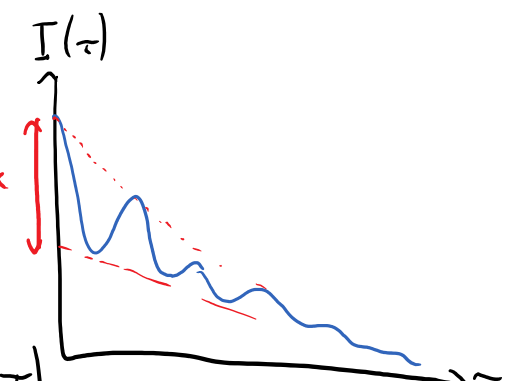
$$V_{3p}(\tau, T) = 1 - \frac{k}{4} \left\{ [1 - \cos(\omega_\beta \tau)] [1 - \cos(\omega_\alpha (T+\tau))] + [1 - \cos(\omega_\alpha \tau)] [1 - \cos(\omega_\beta (T+\tau))] \right\}$$

↑ Konstanter Faktor ↑ Modulation

↳ Blindsights bei $\cos(\omega_{\alpha/\beta} \tau) = 1$
!!! $\Leftrightarrow \omega_{\alpha/\beta} = \frac{2\pi n}{T}$

$$\text{mit Relaxation: } V'_{3p}(\tau, T) = V_{3p}(\tau, T) \cdot e^{-\frac{T}{T_m^{(el)}}} \cdot e^{-\frac{T}{T_m^{(in)}}}$$

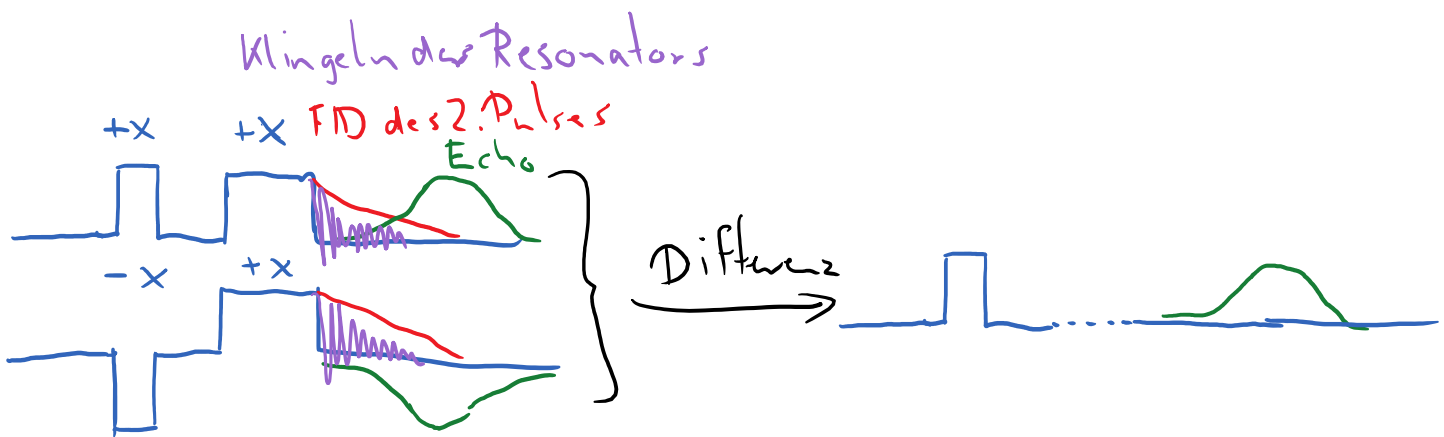
schmalere Linien als 2-Puls-ESEEM ⇔ Modulation zerfällt mit T_m⁽ⁱⁿ⁾ oder T_m^(el), je nachdem, was dominiert



Phase Cycling

Tuesday, January 29, 2019

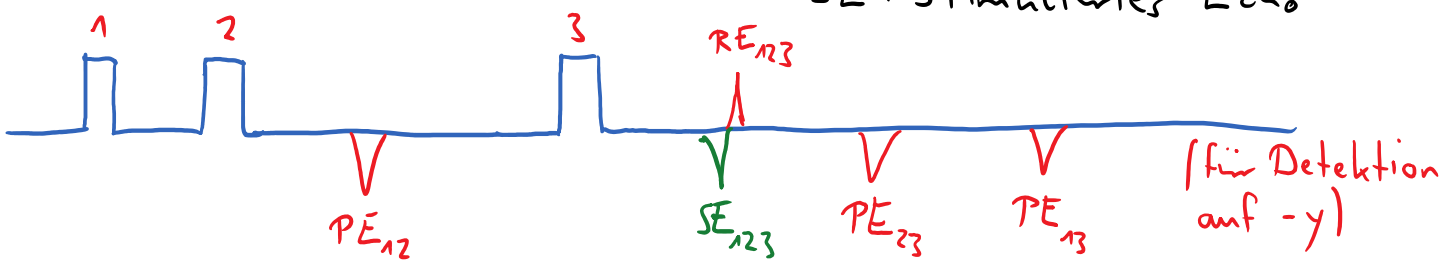
10:13 AM



Ungewünschte Kohärente Effekte (Pulsklingen, FIDs, Echos) können durch Phasenzyklus unterdrückt/entfernt werden

Bsp.: 3-Puls-ESEEM

PE: Primäres (Hahn-) Echo
RE: Refokussiertes (Hahn-) Echo
SE: Stimuliertes Echo



Phasenzyklus: (für positives SE)

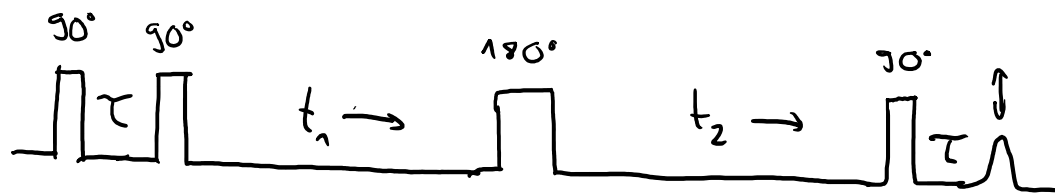
1	2	3	Detektion
+x	+x	+x	+y
-x	+x	+x	-y
+x	-x	+x	-y
-x	-x	+x	+y

Minimales 4-Phasen-Zyklus zum Unterdrücken der ungewünschten Echos

Acht-Phasen-Zyklus benötigt (Puls 3 -x), falls FID + Ringing von 3. Puls entfernt werden soll!

HYSORE: 2D-ESEEM

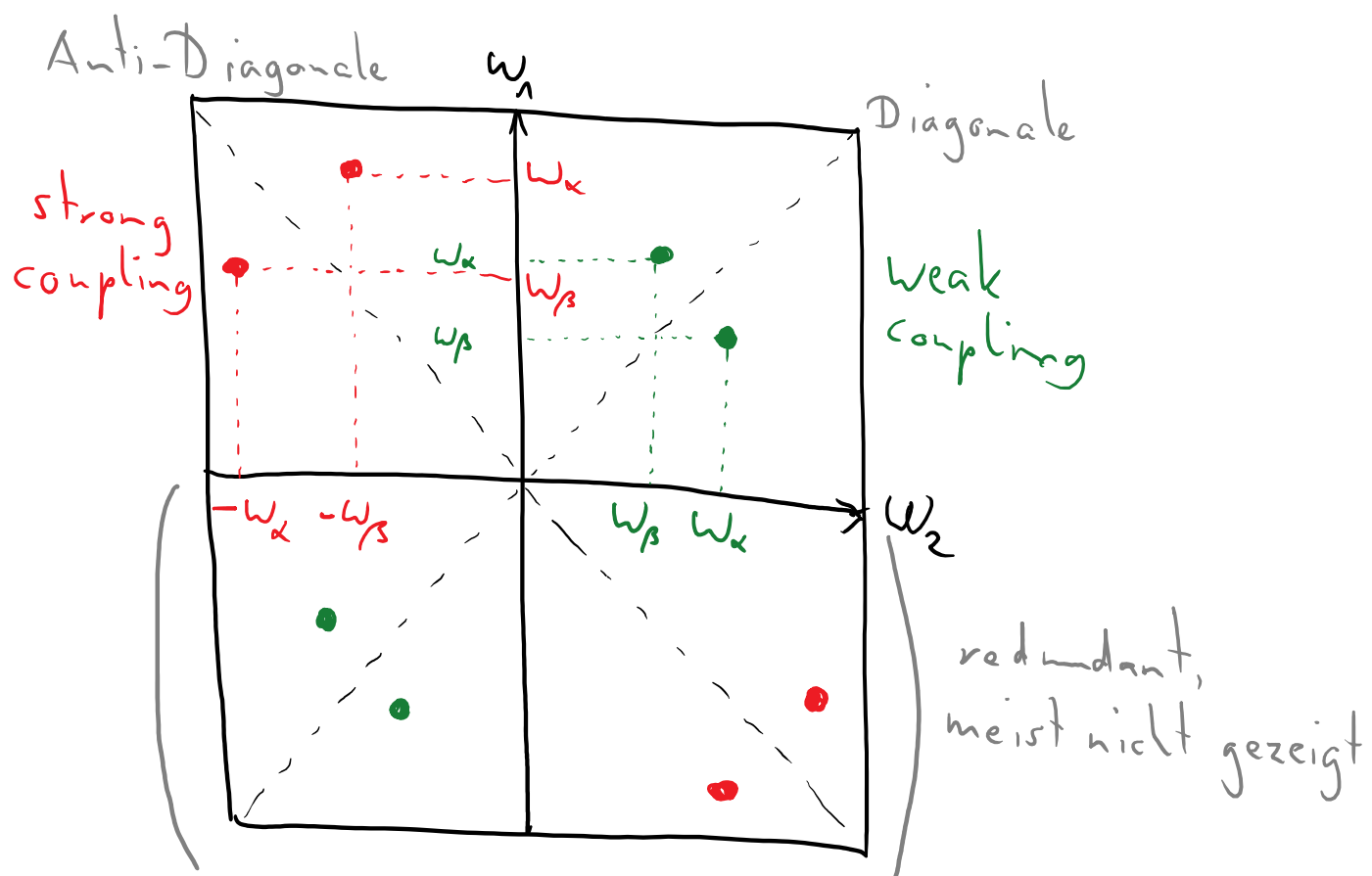
Hyperfine Sublevel
Correlation Spectroscopy



Präparationspuls Mischpuls Detektionspuls

Kernspins, die während t_1 mit ω_α evolvieren, tun dies nach Inversion des Elektronenspins in t_2 mit ω_β , und umgekehrt

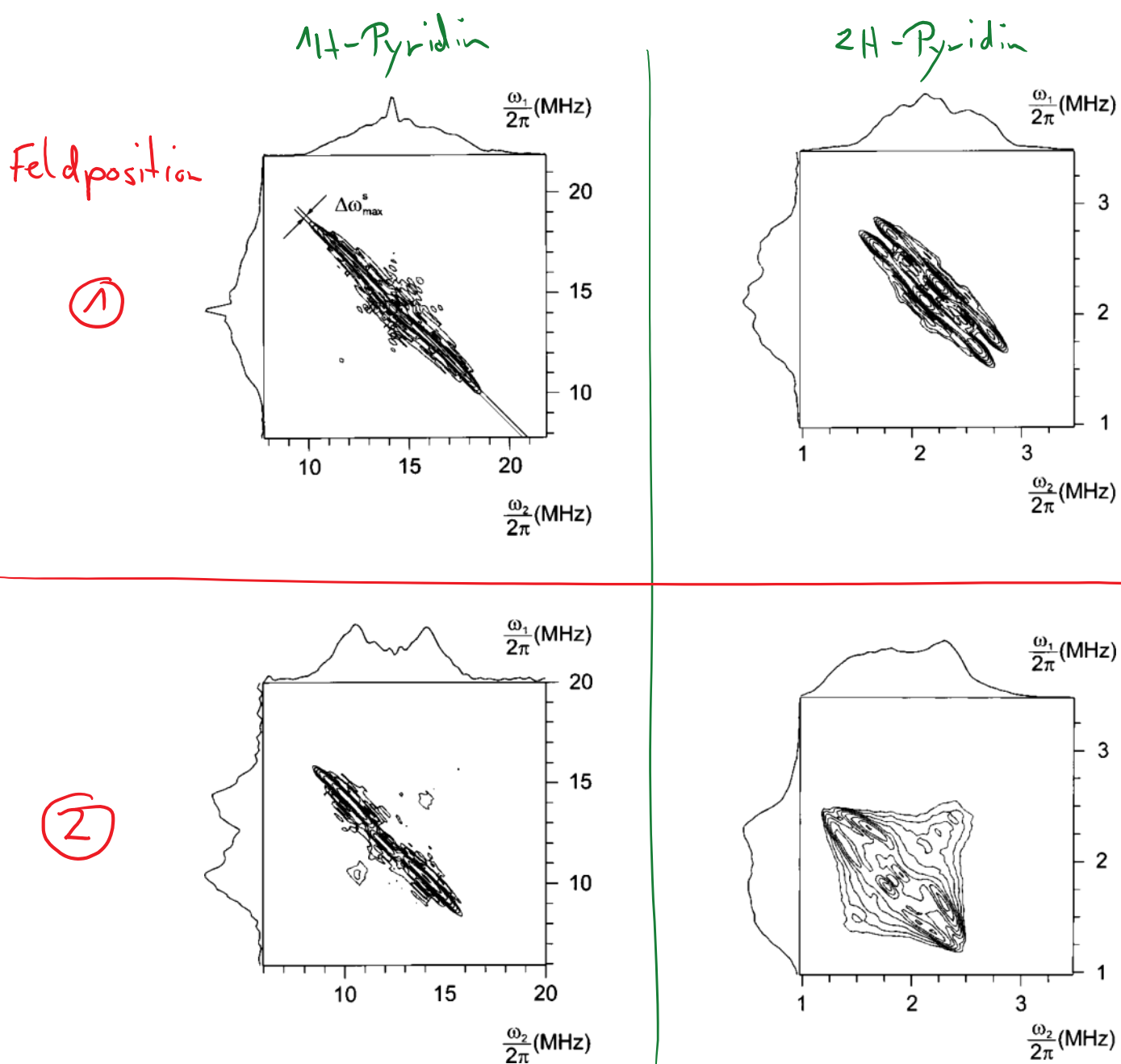
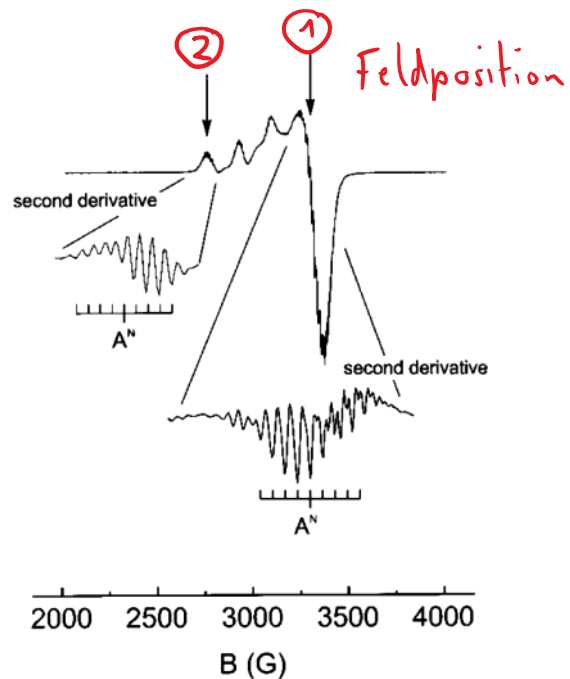
→ Korrelation der e^- -Spin-Subräume



Bsp.: HYSCORE an Cu-tetrapyridin

Tuesday, January 16, 2018 10:53 AM

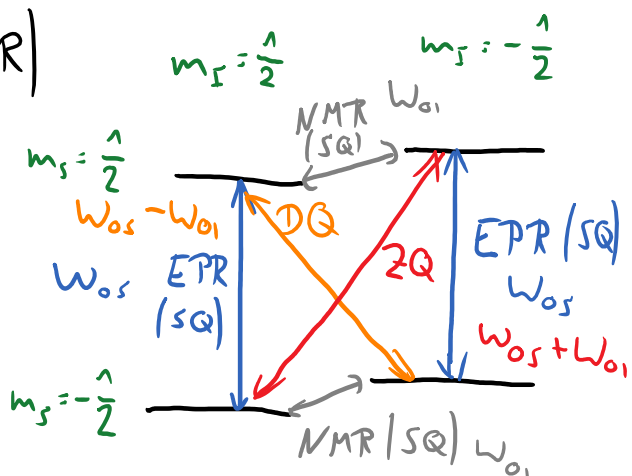
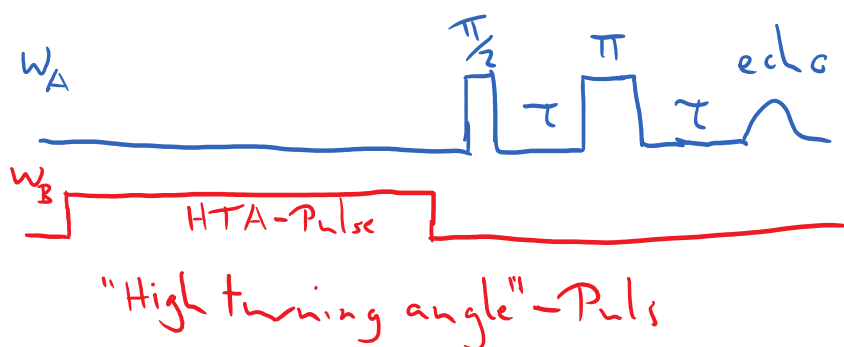
Pöppl et al., *J. Phys. Chem. A* **1998**, *102*, 3599.



Direkte Anregung verbotener Übergänge

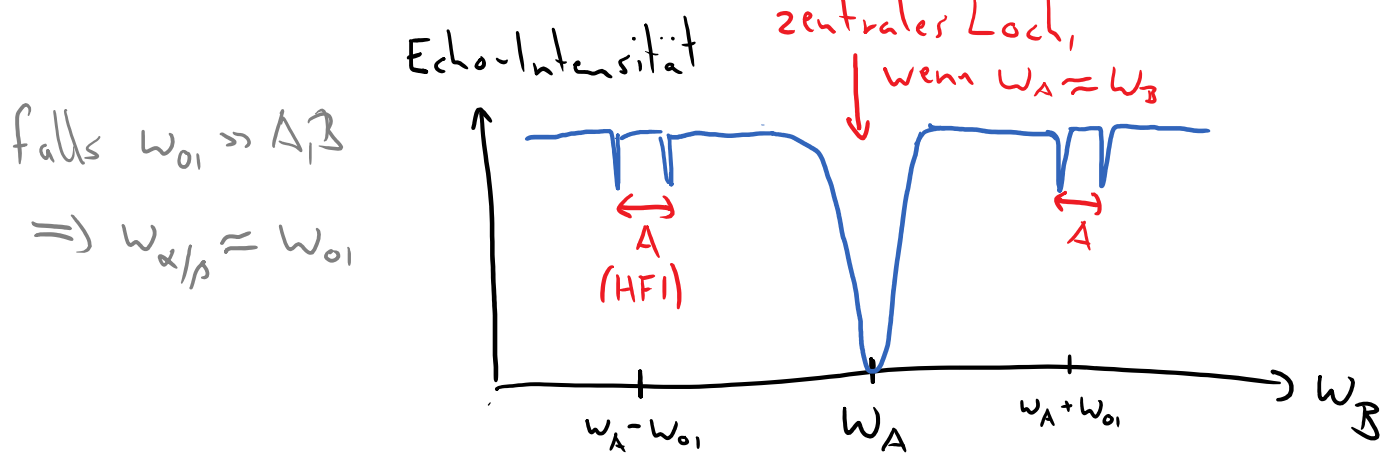
Friday, January 25, 2019 6:46 PM

Electron-detected NMR (EDNMR)



Direkte Anregung von "verbotenen" E-N ZQ oder DQ Übergängen führt zur teilweisen Sättigung des EPR-Übergangs → Echo-Intensität reduziert, wenn

$$|\omega_A - \omega_B| = \omega_{\alpha/\beta} \Rightarrow ED\text{-NMR Spektrum}$$

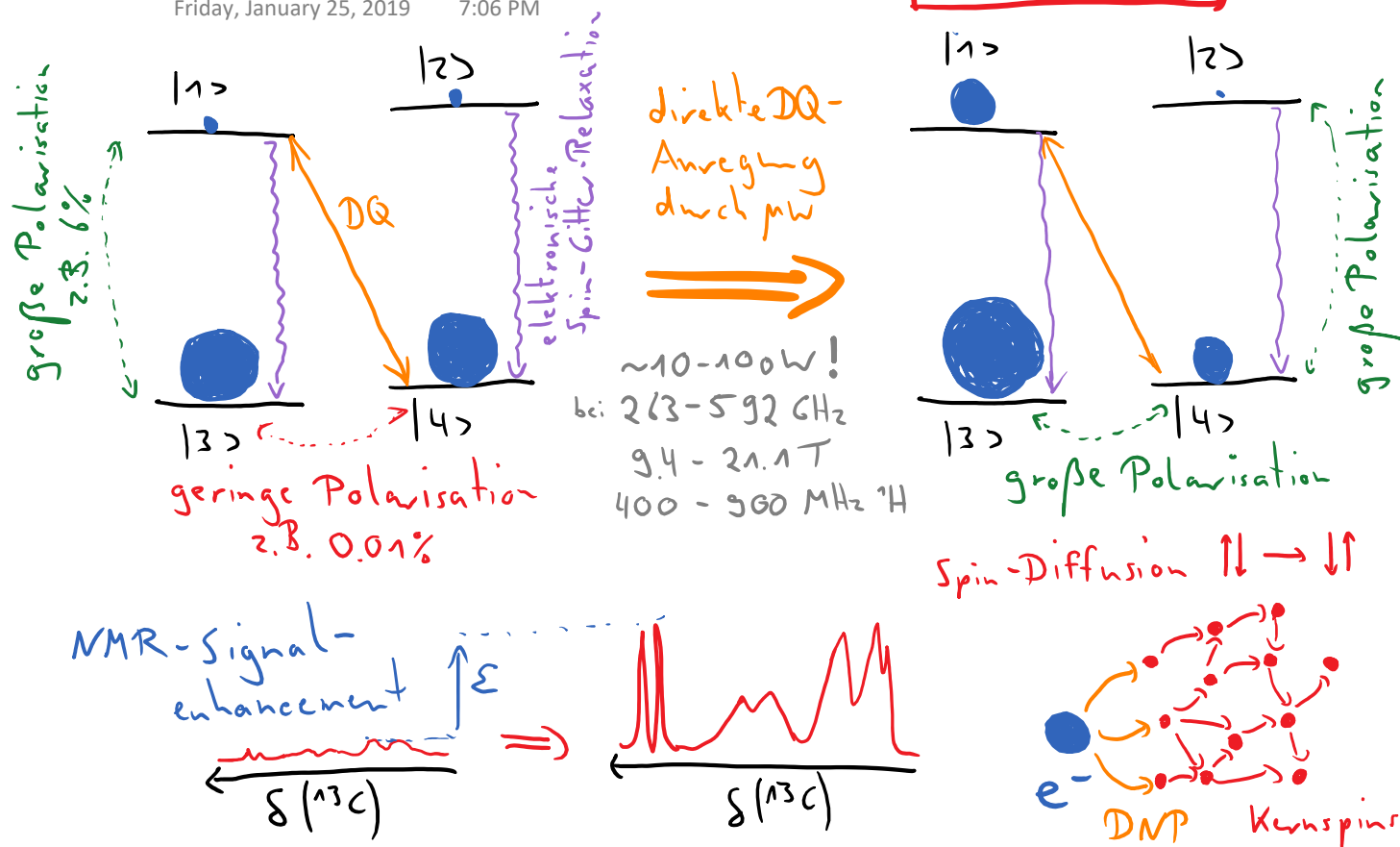


Breite von zentralem Loch entspricht Anregungsbandbreite von ω_A → Kompromiss zwischen Empfindlichkeit und "Blindheit" für Kerne mit kleinen ω_o

Dynamische Kernpolarisation

Friday, January 25, 2019

7:06 PM



Polarisation wird durch Spin-Diffusion über \sim tausende Protonen verteilt \Rightarrow keine direkte HFI, NMR möglich

DNP-“Spektrum” (Frequenz-/Feld-Profil)

Vor-/Nachteile:

- $\sim 10^1 - 10^3$ -fache NMR-Verstärkung
- Detektion von Spezies/Kernen in kleinsten Konzentrationen auf Oberflächen
- funktioniert nur bei red. Temperatur ($\sim 100\text{ K}$) \leftrightarrow MAS
- Mikrowellenquelle benötigt (Gyrotron) teuer!

